# Drei Probleme in der Robotik

### JM Selig

# Fakultät für Informatik, Informationssysteme und Mathematik South Bank University

London SE1 0AA, Großbritannien

#### Abstrakt

Drei ziemlich unterschiedliche Probleme in der Robotik werden mit derselben Technologie untersucht
nique aus der Schraubentheorie. Das erste Problem betrifft Federsysteme. Der

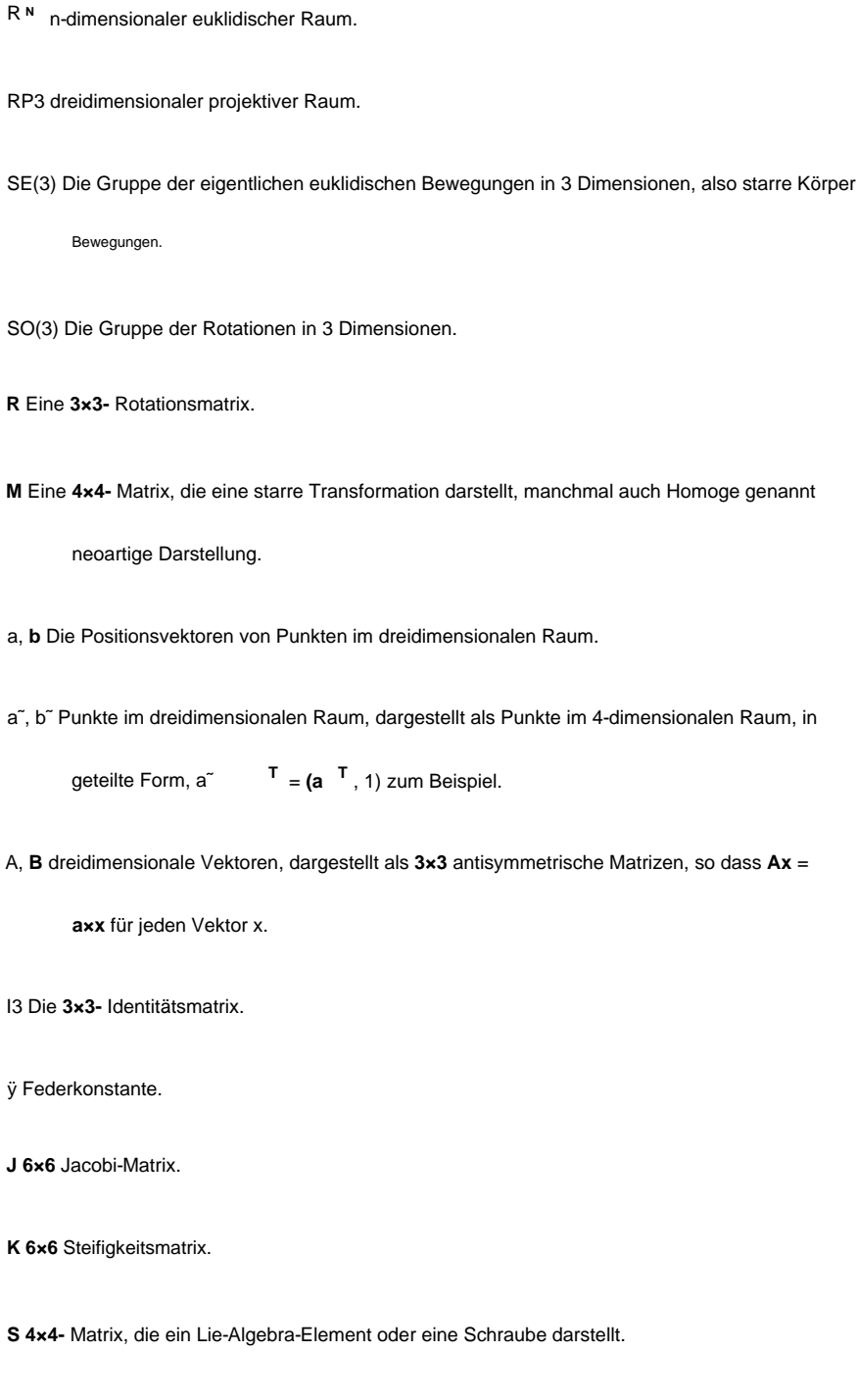
Die potentielle Funktion wird in Richtung einer beliebigen zu findenden Schraube differenziert
die Gleichgewichtslage. Das zweite Problem ist in Bezug auf die nahezu identisch

Berechnungen, die Lösung der kleinsten Quadrate für das Problem, die starre Bewegung zu finden
Es werden nur Daten über Punkte auf dem Körper gesucht, denen ein Körper unterzogen wird. Im

Als drittes Problem wird die Jacobi-Funktion einer Stewart-Plattform gefunden. Auch dies ist gelungen
durch Differenzieren bezüglich einer Schraube. Weitere Eigenschaften zweiter Ordnung der

Die ersten beiden Probleme werden untersucht. Die Hesse-Funktion der zweiten Ableitungen wird berechnet und
daher sind die Stabilitätseigenschaften der Gleichgewichtslagen des Federsystems
gefunden.

## **Notation**



W 6x 1 Vektor, der einen Schraubenschlüssel darstellt, der ein Element des Vektorraums ist, der dual ist die Lie-Algebra.

### 1. Einleitung

Als Ball Ende des 19. Jahrhunderts seine Abhandlung [1] schrieb, wurde Sophius Lie geschrieben

Er beschäftigte sich mit dem, was er "kontinuierliche Gruppen" nannte. Wenn Ball von Lies Arbeit wüsste, wäre das vielleicht nicht der Fall

Es war offensichtlich, dass es irgendeine Verbindung zu seinem eigenen hatte, seit Lie daran interessiert war

Symmetrien von Differentialgleichungen. Es war Klein, der später die Idee einführte

Diese "Lie-Gruppen" könnte man sich als geometrische Symmetrien vorstellen. Es war nach beidem

Ball und Lie waren gestorben, als die "Lügentheorie" begann, einen zentralen Platz in der Moderne einzunehmen

Geometrie. Insbesondere die Arbeiten von Killing und Cartan zu Lie-Algebren waren sehr in Mode

fließend. Weitere Einzelheiten zur Geschichte der Lie-Theorie finden Sie in [2]. Im Nachhinein betrachtet ist das möglich

Man sieht, dass Balls endliche Schrauben einfach Elemente einer Lie-Gruppe waren: der Gruppe von

richtige euklidische Transformationen in R

3. Die Drehungen oder Motoren waren Elemente des

Lie-Algebra dieser Gruppe. Diese werden manchmal auch als Infinitesimalschrauben bezeichnet

obwohl genauer gesagt Kugelschrauben mit Elementen des Projekts identifiziert werden können

tive Raum gebildet aus der Lie-Algebra. Das sind die Linien durch den Ursprung der Lüge

Algebra.

Viele andere Elemente der Lie-Theorie waren auch in der Schraubentheorie von Ball vorhanden. Aber vielleicht wurde ihre Bedeutung nicht voll gewürdigt. Zum Beispiel das Lie-Produkt oder Lie-Bracket ist einfach das Kreuzprodukt von Schrauben. Für Ball war dies nur eine geometrische Sache Operation, das Analogon des Vektorprodukts dreidimensionaler Vektoren.

Einige Autoren beziehen sich auf die Schraubentheorie und die Lie-Gruppenmethoden, als ob sie unterschiedlich wären Ansätze. Die Ansicht dieses Autors ist, dass es keinen Unterschied zwischen ihnen gibt, Mist

Theorie ist einfach die Spezialisierung der Lie-Theorie auf die Gruppe der Starrkörpertransformationen tionen. Der Name Schraubentheorie bleibt jedoch nützlich. Als beschreibende Kurzschrift und Außerdem ist es eine Erinnerung daran, dass es Ball war, der vor Lie fast die gesamte Theorie ausgearbeitet hatte Gruppen wurden erfunden!

Ein großer Teil der Robotik beschäftigt sich mit starren Bewegungen. In Kinematik und Dynamik

Untersucht werden die starren Bewegungen sowohl der Nutzlast als auch der Glieder des Roboters. Im Roboter

Ein häufiges Sehproblem besteht darin, die starre Bewegung der Kamera abzurufen

anhand der aufgenommenen Bilder. Daher ist die Gruppe der Starrkörperbewegungen ein zentrales Objekt

in der Robotik. Bisher wurde die Schraubentheorie häufig in der Roboterkinematik eingesetzt

eingeführt von der Mechanismen-Community. Es beginnt, in der Dynamik eingesetzt zu werden

und Steuerung von Robotern, ist in diesen Bereichen jedoch keineswegs das Mittel der ersten Wahl. In

Robot Vision sind diese Techniken kaum bekannt. Eines der Ziele dieser Arbeit ist es

zeigen, dass diese Methoden universell auf Probleme in der Robotik anwendbar sind

und um zu zeigen, dass eine Vielzahl von Problemen in der Robotik ein gemeinsames Grundthema haben.

Diese Arbeit nutzt die Tatsache, dass eine Lie-Gruppe eine Differentialmannigfaltigkeit ist. Um a zu minimieren

Für eine reibungslose Funktion auf einem solchen Raum ist die Maschinerie der Lagrange-Multiplikatoren nicht erforderlich.

Es ist möglich, direkt an der Mannigfaltigkeit zu arbeiten, es ist nicht notwendig, sich die Gruppe als solche vorzustellen eingebettet in den kartesischen Raum, wie dies durch die Verwendung von Lagrange-Multiplikatoren impliziert würde.

Die Differentiation entlang tangentialer Vektorfelder kann verwendet werden, um Gleichungen für a zu finden stationäre Punkte einer Funktion. Die am bequemsten zu verwendenden Vektorfelder sind die linken invariante Felder der Gruppe. Dies sind einfach Elemente der Lie-Algebra der Gruppe,

Abbildung 1: Ein starrer Körper, der an einem Federsystem aufgehängt ist

die Drehungen oder Schrauben. Daher könnte man sich diese Technik als "entlang der Differenzierung" vorstellen eine Schraube".

## 2 Federn

Stellen Sie sich einen starren Körper vor, der von einem Federsystem getragen wird, siehe Abbildung 1. Nehmen Sie weiter an dass die Federn die natürliche Länge 0 haben, dem Hookeschen Gesetz gehorchen und sowohl drücken als auch ziehen können.

Die Federkonstanten ÿi der Federn können unterschiedlich sein. Die Schwerkraft wird hier ignoriert der Einfachheit halber. Es ist jedoch nicht schwer vorstellbar, wie es in ein Mehr integriert werden könnte anspruchsvolles Modell, entweder durch Modifizieren der unten abgeleiteten potenziellen Funktion

oder indem die Gleichungen für das Gleichgewicht geändert werden, um den Schraubenschlüssel aufgrund der Schwerkraft einzubeziehen.

Sei a T = (a T , 1) die Punkte sein, an denen die Federn am Boden befestigt sind oder

Rahmen und b T = (b T , 1) die entsprechenden Befestigungspunkte am starren Körper wenn

Der Körper befindet sich in einer Standard-Heimkonfiguration. Wenn der Körper einer Starre unterliegt

Bewegung, zu der sich die Befestigungspunkte bewegen,

was mit b~ÿ abgekürzt wird

= **Mb** Die erste Frage, die dazu gestellt werden kann

Die Situation ist: Gibt es eine Gleichgewichtskonfiguration für den starren Körper?

Das Problem besteht darin, die potentielle Energie des Federsystems zu minimieren, das ist gegeben

durch die folgende Funktion,

Beachten Sie, dass diese Funktion auf der Gruppe SE(3) definiert ist, das heißt  $\ddot{y}$ : SE(3)  $\ddot{y}\ddot{y}$  R, als MÜber die Gruppe hinweg variieren unterschiedliche Werte des potenziellen Ergebnisses.

die partiellen Ableitungen und setzt sie dann auf Null. Die Standard-Angriffsmethode

Dieses Problem bestünde darin, die Matrixelemente mithilfe von Lagrange-Multiplikatoren zu minimieren

Berücksichtigen Sie die Einschränkung, dass die Matrix ein Gruppenelement sein muss.

Wenn dies nur eine Funktion auf R wäre <sup>N</sup> Die stationären Punkte würden durch Berechnen gefunden

Die einfachere Methode für uneingeschränkte Funktionen kann jedoch mit nachgeahmt werden eine vielfältige Theorie. Die stationären Punkte einer auf einer Mannigfaltigkeit definierten Funktion finden

Die Funktion muss entlang von Vektorfeldern auf der Mannigfaltigkeit differenziert werden. Wie üblich die

Die Ergebnisse werden auf Null gesetzt und dann werden die resultierenden Gleichungen gelöst, um die stationären Punkte zu finden.

Hierzu dient eine Menge von Vektorfeldern, die den Raum aller Vektorfelder aufspannen

Verteiler erforderlich.

Da die betrachtete Mannigfaltigkeit die zugrunde liegende Mannigfaltigkeit einer Lie-Gruppe ist,
Ein solcher vollständiger Satz von Vektorfeldern ist immer verfügbar. Die Elemente der Lie-Algebra
Es können linksinvariante Vektorfelder verwendet werden.

Um entlang eines Vektorfeldes zu differenzieren, beträgt der Wert der Funktion an zwei Punkten com Pared, die aktuelle Position und eine Position in geringer Entfernung entlang eines tangentialen Pfads Vektorfeld, dann die Grenze der Differenz zwischen den Werten der Funktion an diesen Da der Weg immer kürzer wird, werden benachbarte Punkte übernommen.

assen

sei ein Lie-Algebra-Element oder eine Schraube in der **4x4** -Darstellung. Hier ist ÿ ein **3x3** antisymmetrische Matrix, die einem Vektor ÿ entspricht, also **ÿx** = ÿ **xx** für jeden Vektor X.

Wenn **M** ein in der **4×4-** Darstellung geschriebenes Gruppenelement ist , dann ist die Wirkung von **S** on M, wird durch die linke Übersetzung gegeben,

$$M(t) = e^{-tSM}$$
.

Dies führt **M** entlang eines Pfades, der tangential zum durch S definierten Vektorfeld verläuft. Ableitung bilden entlang des Pfades und dann das Setzen von **t** = 0 ergibt,

Daher ist die Ableitung des Potentials gegeben durch:

$$\ddot{\mathbf{y}}\mathbf{S}\ddot{\mathbf{y}} = \ddot{\mathbf{y}}\ddot{\mathbf{y}} \ \ddot{\mathbf{a}}\tilde{\mathbf{i}} \ \ddot{\mathbf{y}}\mathbf{M}\mathbf{b}^{\sim} \qquad \qquad \mathbf{S}\mathbf{M}\mathbf{b}^{\sim}_{_{\mathrm{leb}}}$$

Für das Gleichgewicht muss dies für beliebiges S verschwinden. Daher muss **S** abgetrennt werden, also Betrachten Sie den Begriff,

$$\mathbf{SMb}^{\sim} = \ddot{\mathbf{y}} \times (\mathbf{Rbi} + \mathbf{t}) + \mathbf{v} \qquad \qquad \ddot{\mathbf{y}} \times \mathbf{RBiR}^{\top} \ddot{\mathbf{y}} \times \mathbf{I3} \qquad \ddot{\mathbf{y}} \qquad \ddot{\mathbf{$$

Dabei ist I3 die  $3\times3$ - Identitätsmatrix und Bi die entsprechende antisymmetrische Matrix zu bi .

Setzt man dies in die Gleichgewichtsgleichung ein und nutzt die Tatsache, dass  $\bf S$  und damit  $\ddot{\bf y}$  und  $\bf v$  beliebig sind, erhält man folgendes Ergebnis:

$$\ddot{y} \ddot{y} \dot{a} \ddot{a} \ddot{y} \dot{y} \dot{b} \ddot{a} = 0.$$
 
$$\ddot{y} \ddot{y} \dot{a} \ddot{a} \ddot{y} \dot{y} \dot{b} \ddot{b} = 0.$$
 
$$\ddot{y} \dot{y} \dot{a} \ddot{b} = 0.$$

Nach ein wenig Manipulation erzeugt diese Matrixgleichung zwei Vektorgleichungen:

Und

$$\ddot{y} \ddot{y}i(ai \ddot{y}Rbi \ddot{y}t) = 0$$
 (2)

Wenn die Gewichte ÿi alle gleich sind, dann besagt Gleichung 2, dass die Transformation optimal ist ordnet die Schwerpunkte der a- Punkte den b- Punkten zu. Eine andere Möglichkeit, dies auszudrücken, ist das bei Bei einer Gleichgewichtskonfiguration müssen die Schwerpunkte der beiden Punktmengen zusammenfallen. Zu Fahren Sie fort und wählen Sie den Koordinatenursprung so, dass der Schwerpunkt der b- Punkte bei liegt Ursprung, ÿi ÿibi = 0. Der Translationsvektor ist nun durch Gleichung (2) gegeben als:

$$t = \begin{array}{cc} & \underline{\ddot{y}i\;\ddot{y}iai\;\ddot{y}i} \\ & \ddot{y}i \end{array}.$$

In der obigen Form ist Gleichung (1) nicht sehr einfach zu handhaben, eine handlichere Form schon die **3x3** -Darstellung. Eine kleine Berechnung bestätigt die antisymmetrische Matrix entsprechend einem Vektorprodukt **pxq**, ist gegeben durch **qpT ÿ pqT**.

Daher in dieser Form die Gleichung wird,

wobei das Ergebnis **t** = **ÿi ÿiai/ÿi ÿi** verwendet wurde. Nun schreiben wir: **P** = **ÿi ÿiaib**T das
Gleichung wird;

$$RPT = PRT$$
 (3)

Dies zeigt, dass die Matrix **PRT** symmetrisch ist. Sei also **PRT** =  $\bf Q$  , wobei  $\bf Q$  sym ist metrisch, dann

$$P = QR.$$

Die polare Zerlegung liefert eine Lösung, aber diese Lösung ist nicht eindeutig. Lassen P = QRp sei die polare Zerlegung von P, setze diese nun in die Gleichung (3) ein,

Wenn man  $\mathbf{Ri} = \mathbf{RRT}$  schreibt , lautet die Gleichung:

$$RiQRi = Q.$$

Angenommen,  ${\bf v}$  liegt in Richtung der Rotationsachse von  ${\bf Ri}$ , sodass  ${\bf Riv}$  = v, postmul Wenn man die obige Gleichung mit  ${\bf v}$  tippt, erhält man:

Daher liegt **Qv** entlang der Achse von **Ri** und so gilt:

$$Qv = \mu v$$
,

für ein konstantes  $\mu$ . Jede Lösung für die Rotation Ri muss ihre Rotationsachse haben ausgerichtet mit einem Eigenvektor von Q.

Die möglichen Drehwinkel können durch Berücksichtigung der Wirkung auf das Eigen ermittelt werden

Vektoren von Q unter Ausnutzung der Tatsache, dass die Eigenvektoren einer symmetrischen Matrix gegenseitig sind senkrecht. Wenn die Matrix P nicht singulär ist, ist bekannt, dass die Polare de

Die Zusammensetzung ist einzigartig. Wenn die Eigenwerte von Q alle unterschiedlich sind und auch unterschiedlich sind Beträge, dann sind die einzig möglichen Winkel 0 und ÿ. Dies ergibt insgesamt vier Lösungen:

Ri = 13 ist die oben gefundene Lösung, das heißt, R ist einfach die Drehung von der Polare de

Komposition. Die drei anderen Lösungen für Ri sind Drehungen von ÿ im Bogenmaß um die drei

Eigenvektoren von Q. Insgesamt gibt es also vier Lösungen für die Rotation R = RpRi.

In jedem

In diesem Fall ist Rp die Rotation aus der Polarzerlegung von P und Ri sind wie oben Rotationen

von ÿ um den i-ten Eigenvektor von Q, wobei die vierte Lösung durch R0 = 13 gegeben ist. Beachten

dass die vier Rotationen eine diskrete Untergruppe der Rotationsgruppe bilden, diese Untergruppe

ist die bekannte Klein-Viergruppe Z2 × Z2.

Wenn eine der oben genannten Bedingungen nicht erfüllt ist, ist **P** singulär, zwei der Eigenwerte von

Wenn **Q** gleich ist oder die Summe zweier Eigenwerte Null ergibt, gibt es mehr Lösungen. Für

Wenn sich beispielsweise ein Paar Eigenwerte von **Q** zu Null summieren, dann ist jede Drehung um die verbleibenden Eigenwerte möglich

Der Eigenvektor erfüllt die Gleichung für **Ri**.

Tatsache ist, dass es im allgemeinen Fall vier stationäre Punkte der potentiellen Energie gibt

Funktion gefunden wurde, ist nicht überraschend. Die Morsetheorie untersucht die Beziehung

zwischen Mannigfaltigkeiten und den kritischen Punkten der auf ihnen definierten Funktionen, siehe [4]. Der

Kritische Punkte oder hier stationäre Punkte entsprechen Zellen in einem zellulären Zerfall

tion der Mannigfaltigkeit. Die fragliche Mannigfaltigkeit ist hier die zugrunde liegende Mannigfaltigkeit von

Rotationsgruppe SO(3), dies ist als dreidimensionaler projektiver Raum bekannt, RP3

Die minimale zelluläre Zersetzung von RP3 besteht aus vier Zellen mit den Abmessungen 0, 1, 2 und 3

siehe [5, S. 105]. Daher hat eine allgemeine Funktion auf SO(3) mindestens 4 kritische Punkte

Punkte. Darüber hinaus ist der Index der kritischen Punkte die Anzahl der negativen Eigenwerte

der hessischen Matrix gibt die Dimension der entsprechenden Zelle an. Also ohne

Bei weiteren Berechnungen wird bekannt sein, dass die vier kritischen Punkte einen lokalen Maxi bilden

Mama, ein lokales Minimum und zwei Arten von Sattelpunkten. Das Problem, welches zu finden

Die Lösung ist das Minimum, auf das später noch eingegangen wird.

Das Obige zeigt, dass im Allgemeinen, wenn die Matrix **P** nicht singulär ist, die

Das Federsystem von Abbildung 1 hat eine einzigartige stabile Gleichgewichtsposition. Darüber hinaus ist das System

Das System wird drei instabile Gleichgewichtspositionen haben. Dieses Ergebnis hängt nicht von der ab

Anzahl bzw. Anordnung der Federn solange det(P) = 0.

## 3 Starre Bewegung aus Punktdaten

Erwägen Sie ein Sichtsystem oder ein Entfernungsmesssystem, das den Standort messen kann

Punkte in 3 Dimensionen. Stellen Sie sich vor, dass ein starrer Körper eine Reihe bekannter Punkte hat

Position. Der Körper ist einer unbekannten starren Bewegung ausgesetzt und die Positionen der

Punkte werden gemessen. Diese Messungen enthalten Fehler und die zu beantwortende Frage

Hier geht es um die Frage: Wie lässt sich die starre Bewegung des Körpers abschätzen?

Die Positionen der bekannten Punkte seien b - und entsprechende gemessene Punkte a - und entspreche

$$\ddot{y} = \ddot{y} \ \tilde{a} \tilde{i} \ \ddot{\boldsymbol{y}} \ \boldsymbol{M} \boldsymbol{b}^{\boldsymbol{\alpha}} \qquad \qquad \tilde{a} \tilde{i} \ \ddot{\boldsymbol{y}} \ \boldsymbol{M} \boldsymbol{b}^{\boldsymbol{\alpha}} \ \ ich \ ,$$

stellt die Summe der Quadrate der Differenzen zwischen den gemessenen Punkten und dar ihre ideale (geräuschfreie) Position. Die Wahl von **M** zur Minimierung dieser Funktion ergibt ein Minimum Quadratschätzung für die starre Transformation. Diese Funktion ist nahezu identisch mit der Bei der im vorherigen Abschnitt untersuchten potentiellen Energiefunktion bestehen die einzigen Unterschiede darin Gesamtfaktor von der Hälfte und dass alle **vis** auf 1 gesetzt wurden.

Die Geschichte dieses Problems ist sehr interessant. Das Problem, den Dienstplan zu finden

Die Lösung ist eindeutig der interessante Teil und wurde erstmals 1957 von MacKenzie gelöst [6]. Er

bin im Zusammenhang mit der Kristallographie auf dieses Problem gestoßen. 1966 fand Wahba das

dasselbe Problem bei der Untersuchung der Ausrichtung künstlicher Satelliten, [7]. Im Jahr 1976 Moran

löste das Problem erneut mit Quaternionen, [8]. Die Motivation hierfür kam aus der Geologie,

insbesondere die Bewegung tektonischer Platten. Im Zusammenhang mit der Fertigung, Nadas

fand und löste das Problem 1978 erneut, [9]. Hier erfolgte der Antrag beim Hersteller

Herstellung von Keramiksubstraten für Siliziumchips. In der Robot-Vision-Community das Problem

wird üblicherweise Horn [10] zugeschrieben, siehe zum Beispiel [11, Kap. 5].

Die oben angegebene Lösung ist vielleicht etwas einfacher als die Standardargumente
die eine eingeschränkte Minimierung beinhalten, wobei die Einschränkungen verwendet werden, um das auszudrücken
Tatsache, dass die Matrizen in der Gruppe liegen müssen.

Die Standardlösungen basierten nicht immer auf der polaren Zerlegung.

Tatsächlich sind (zumindest) zwei andere Beschreibungen der Lösung möglich.

Um die Polarzerlegung einer Matrix zu berechnen, werden Texte zur numerischen Analyse empfohlen

Es wird empfohlen, mit der Singulärwertzerlegung der Matrix zu beginnen, siehe Beispiel

Bitte [12]. Daher ist es keine wirkliche Überraschung, dass die Lösung unseres Problems gefunden werden kann direkt aus einer Singulärwertzerlegung.

Erinnern Sie sich an den Abschnitt oben: RPT = PRT , muss nach der Drehung gelöst werden

Matrix R, wobei P = ÿi ÿiaib

T
ich . Denken Sie außerdem daran, dass

P = QRp,

wobei  $\bf Q$  symmetrisch war. Daher kann  $\bf Q$  als  $\bf Q$  =  $\bf UDUT$  mit  $\bf U$  orthog diagonalisiert werden onal und  $\bf D$ - diagonal. Schreibe jetzt,

P = UDUTRp = UDVT

T woV =U TR ist immer noch orthogonal. Dies ist einfach die Singularwertzerlegung von
P. Anders ausgedrückt: Nehmen wir an, die Singulärwertzerlegung von P sei P = UDVT
dann sind die vier Lösungen R = UVTRi.

Eine andere Lösungsform kann wie folgt abgeleitet werden, beginnend mit dem Polar de Zusammensetzung von P,

P = QRp,

wobei **Q** eine symmetrische Matrix ist. Die Nachmultiplikation dieser Gleichung mit ihrer Transponierten ergibt: **PPT = Q**2. Schließlich ergibt sich durch Ersetzen von **Q** 

 $R = (PPT) \ddot{y}1/2PRi$ .

Es gibt mehrere verschiedene Quadratwurzeln der Matrix (PPT ), die hier gezogen werden könnten, Die Auswahl wird durch die Anforderung begrenzt, dass die Determinante von R 1 sein muss bedeutet, dass die eindeutige positive Quadratwurzel gezogen werden muss, siehe [3, S. 405].

Betrachten Sie hier abschließend die Determinante der Matrix P. Ein klassisches Ergebnis sagt uns das die polare Zerlegung einer Matrix P ist eindeutig, wenn P nicht singulär ist, siehe [3, S. 413]

Zum Beispiel. Die klassische Polarzerlegung zerlegt die Matrix **P** in ein or thogonale Matrix und positiv-semidefinite symmetrische Matrix. Hier ein richtiges Orthogonal Matrix und eine symmetrische Matrix (nicht unbedingt positiv-semidefinit) werden benötigt, dies hat keinen Einfluss auf die Einzigartigkeit der Lösung.

Daher muss die Determinante der oben definierten Matrix P untersucht werden. Zu

Um die Diskussion zu vereinfachen, gehen wir davon aus, dass die Federsteifigkeiten ÿi alle auf 1 gesetzt wurden.

Bei weniger als drei Federn oder Punktpaaren ist die Determinante immer

Singular. Für drei Punktpaare ergibt eine einfache Berechnung:

$$\det(P) = \det \begin{array}{ccc} & 3 & T \\ \ddot{y} \ aib & - & = (a1a2a3)(b1b2b3), \\ & & = 1 \end{array}$$

Hier wurde das Skalartripelprodukt als  $a \cdot (b \times c) = (abc)$  geschrieben.

Die Verallgemeinerung auf n Punktpaare ergibt:

$$det(P) = \ddot{y}$$
 (aiajak)(bibjbk).  
 $1\ddot{y}i < i < k\ddot{y}n$ 

Dies ist sicherlich singulär, wenn alle **a-** Punkte oder alle **b-**Punkte auf einer Ebene durch liegen Herkunft.

## 4 Jacobi-Matrix für Stewart-Plattformen

Betrachten Sie eine allgemeine Stewart-Plattform. Dieser Manipulator verfügt über sechs gleichgeschaltete Beine allel. Jedes Bein besteht aus einem hydraulischen Aktuator zwischen einem Paar passiver Kugelgelenke Gelenke. Die sechs Beine verbinden die Basis oder den Boden mit einer beweglichen Plattform. Durch Anpassen der Durch die Länge der sechs Beine kann die Plattform mithilfe der hydraulischen Antriebe manövriert werden mit sechs Freiheitsgraden. Siehe Abbildung 2.

#### Abbildung 2: Eine General-Stewart-Plattform

die Vorwärtskinematik ist schwierig. Nehmen wir an, dass die Position und Ausrichtung des Plattform ist gegeben, die Beinlängen sind einfach zu finden. Sei **ai** die Position des Zentrums des zum i-ten Bein gehörenden Kugelgelenks am Boden . In der Heimkonfiguration

Die entsprechende Position des Gelenkzentrums auf der Plattform wird  $\mathbf{bi}$  sein . Also jetzt die

Die Länge des i-ten Beins bzw. seines Quadrats kann geschrieben werden:

Bei Parallelmanipulatoren ist die inverse Kinematik unkompliziert

$$\frac{2}{i_{sh}} = a\tilde{i}i\tilde{y}Mb^{\tilde{a}}$$
  $\tilde{i} = 1, ..., 6.$ 

Wie üblich ist **M** eine starre Transformation, dieses Mal die Bewegung, die die Plattform übernimmt nach Hause zur aktuellen Position. Beachten Sie, dass die Beinlängen als Funktionen betrachtet werden können Es ist jedoch üblicher, diese als Komponenten einer Zuordnung zu betrachten von der Gruppe zum Raum der Beinlängen, SE(3) **ÿÿ** R

6 · Ein Punkt in R

6 ist gegeben Koordinaten als (I1, I2,..., I6). Gesucht wird der Jakobianer dieser Abbildung. Machen Dabei wird die Ableitung der Beinlängen gebildet,

$$\frac{\text{dl2}}{\frac{1}{\text{ich dt}}} = 2\text{li } \ddot{y} \text{li} = \ddot{y} 2 \ a \ddot{i} \ \ddot{y} \text{b} \tilde{b}$$

$$= 7 \ \text{Sb} \tilde{b}_{\text{\tiny ch.}}$$

Wenn man dies neu anordnet, erhält man

$$\ddot{y}li = \frac{1}{li} \quad b\ddot{i} \ddot{y}a\ddot{i} \quad \overset{\mathsf{T}}{=} \mathbf{S}b\ddot{\underline{\ }} = \frac{1}{li} \quad (ai \times bi) \quad \overset{\mathsf{T}}{=} (bi \ddot{y}ai) \quad \overset{\mathsf{T}}{=} \ddot{y} \ddot{y} \quad \ddot{y} \quad v \ddot{y}.$$

Dies ergibt die Gelenkgeschwindigkeit jedes Beins als lineare Funktion der Geschwindigkeitsschraube des

Plattform. Das jakobianische J ist die Matrix, die die Formel erfüllt:

Es ist also ersichtlich, dass die Zeilen dieser Jacobi-Matrix einfach sind:

Dies ist der Schlüssel, der durch eine Einheitskraft gegeben ist, die entlang des i-ten Beins gerichtet ist.

Betrachten Sie ein Federsystem wie in Abschnitt 2. Angenommen, es gibt nur sechs Federn. Nun kann gezeigt werden, dass der mit der Gleichgewichtsposition verbundene Jacobi die Sünde ist regelmäßig. Um dies zu sehen, betrachten Sie die Gleichungen (1) und (2), die die Gleichgewichtsposition definieren. Dinge so anordnen, dass die Gleichgewichtsposition die Referenzposition ist und daher R=13 und t=0, dann lauten die Gleichungen:

Und

Im Sinne des Jacobi für eine entsprechende Stewart-Plattform, also eine, deren Bein Längen entsprechen den Längen der Federn, man erkennt, dass die Reihen der Jacobi sind linear abhängig und daher ist die Matrix singulär.

Das Vorwärtskinematikproblem einer Stewart-Plattform besteht darin, die Position zu bestimmen und Ausrichtung der Plattform angesichts der Beinlängen. Das ist aus gegebenem Anlass bekannt Für die Menge der Beinlängen gibt es endlich viele verschiedene Lösungen, im Allgemeinen 40. Unterscheiden Ent-Lösungen werden als unterschiedliche Posen bzw. Stellungen der Plattform bezeichnet. Ersetzen

Bei den Beinen mit Federn ist klar, dass die potentielle Funktion den gleichen Wert haben wird

Jede dieser Posen oder Körperhaltungen hängt nur von der Länge ab

Federn. Keine dieser Positionen wird jedoch ein Minimum der potentiellen Funktion sein

denn wie oben gezeigt wurde, ist die stabile Gleichgewichtslage eindeutig.

### 5 Die Steifigkeitsmatrix

Die in den letzten drei Abschnitten vorgestellten Probleme sind allgemein bekannt und wurden gelöst mit vielen verschiedenen Methoden. Der Vorteil der hier untersuchten Methoden der Schraubentheorie ist dass es relativ einfach ist, höhere Ableitungen zu untersuchen.

Beachten Sie zunächst, dass es aufgrund der Federn möglich ist, den Schraubenschlüssel zu finden. Im Allgemeinen a Schraubenschlüssel ist ein 6-dimensionaler Vektor von Kräften und Drehmomenten,

Dabei ist ÿ ein Moment um den Ursprung und **F** eine Kraft. Beachten Sie, dass dies bei Schraubenschlüsseln nicht der Fall ist Elemente der Lie-Algebra, aber Elemente des Vektorraums, die dual zur Lie-Algebra sind. Normalerweise Die auf ein Potential zurückzuführende Kraft ist durch seinen Gradienten gegeben. Das Gleiche gilt hier, in gewisser Hinsicht der äußeren Ableitung d, **W** = ÿdÿ. Kombinieren des Schraubenschlüssels mit einer beliebigen Schraube **S** gibt,

W (S) = 
$$\ddot{y}d\ddot{y}(S) = \ddot{y}\ddot{y}S\ddot{y}$$
,

siehe [13, §. 4.20] zum Beispiel. Diese Berechnungen wurden bereits in Abschnitt 2 durchgeführt oben ist der Schraubenschlüssel gegeben durch:

Dies hätte natürlich auch aus der Elementarmechanik abgeleitet werden können.

Für die Federsysteme aus Abschnitt 2 ist die Steifigkeitsmatrix ein wichtiges Objekt System. In diesem Abschnitt wird die Steifigkeitsmatrix durch die Bildung der zweiten Ableitungen berechnet der potentiellen Funktion.

Eine unendlich kleine Verschiebung des Körpers wird durch eine Schraube dargestellt. Der Schraubenschlüssel erzeugt durch eine Verschiebung  $\mathbf{s}$  ist gegeben durch  $\mathbf{W} = \mathbf{K}\mathbf{s}$ , wobei  $\mathbf{K}$  die Steifigkeitsmatrix ist.

Die Steifigkeitsmatrix ist die Hesse-Matrix der Potentialfunktion, also deren Matrix Partielle Ableitungen zweiter Ordnung, siehe [14, Kapitel 5]. Dies gilt nur im Gleichgewicht Position.

In der Robotik-Literatur gab es Versuche, diese Ideen auf Nicht-Roboter auszudehnen Gleichgewichtskonfigurationen, siehe zum Beispiel Griffis und Duffy [15] und Zefran und Kumar [16]. In dieser Arbeit wird jedoch die klassische Definition der Steifigkeitsmatrix verwendet

Schreiben Sie nun das Ergebnis oben für den Schraubenschlüssel als

$$\mathbf{W} = \ddot{\mathbf{y}} \, \ddot{\mathbf{y}} \mathbf{i} \qquad \ddot{\mathbf{y}} \qquad \ddot{\mathbf{y}} \qquad \ddot{\mathbf{a}} \ddot{\mathbf{i}} \, \ddot{\mathbf{y}} \, \, \mathbf{Mb} \ddot{\mathbf{b}} \, \dot{\mathbf{i}} \, \dot{\mathbf{ch}} \, .$$
 
$$\ddot{\mathbf{y}} \, \, \mathbf{I3} \, \mathbf{0} \qquad \ddot{\mathbf{y}} \qquad \qquad \ddot{\mathbf{y}} \, .$$

Die Differenzierung entlang einer beliebigen Schraube ergibt:

unter Verwendung des Ergebnisses aus Abschnitt 2. Daher ist die Steifigkeitsmatrix:

Wählen Sie dieses Mal den Ursprung am Punkt ÿi ÿiai und verwenden Sie dann das Gleichgewicht

Bedingung 2, um die Steifigkeitsmatrix zu vereinfachen,

Das ist ein besonders schönes Ergebnis, das auf den ersten Blick jedoch etwas überraschend ist. Der Begriff ÿi ÿil3 in der unteren rechten Ecke bedeutet, dass das System in jedem Fall die gleiche Steifigkeit hat unabhängig von der Steifigkeit der einzelnen Federn und deren Anordnung.

Dies ist auf die Annahme zurückzuführen, dass die Federn eine natürliche Länge von Null haben.

Als nächstes wird das Problem betrachtet, den Index der gefundenen kritischen Punkte zu finden. Für Der Kürze halber stellt sich nur die Frage, welcher der kritischen Punkte ein Minimum des Potenzials darstellt Energie, also ein stabiles Gleichgewicht, berücksichtigt werden. Das heißt: welche der Lösungen für R eine Steifigkeitsmatrix K mit allen positiven Eigenwerten ergibt? Beachten Sie, dass drei davon Eigenwerte von K sind einfach ÿi ÿi , und dies ist positiv, wenn alle Federkonstanten ÿi sind positiv. Es ist also nur notwendig, die Eigenwerte des oberen linken Blocks von zu untersuchen K. Nach ein wenig Manipulation kann dies in Form der Matrix P oder ihrer Polarität geschrieben werden Zersetzung,

$$\ddot{y}$$
  $\ddot{y}$ iAiRBiR  $^{T}$  = RPT + Tr(RPT)I3 = RiQ+Tr(RiQ)I3.

Hier repräsentiert Tr() die Spur der Matrix. Nun hat diese Matrix die gleichen Eigenvektoren als  $\mathbf{RiQ}$  und damit als Q, wobei man bedenkt, dass  $\mathbf{Ri}$  entweder die Identität oder eine Drehung von  $\ddot{\mathbf{y}}$  war um einen Eigenvektor von Q. Nehmen Sie also an, dass die Eigenwerte von  $\mathbf{Q}$   $\mu$ 1,  $\mu$ 2 und  $\mu$ 3 sind mit entsprechenden Eigenvektoren e1, e2 und e3. Angenommen,  $\mathbf{Ri}$  ist eine Rotation um Eigenvektor  $\mathbf{ei}$ , die Eigenwerte der Matrizen können durch Betrachtung der Aktion ermittelt werden

auf den Eigenvektoren e1, e2 und e3. Die Eigenwerte für R0Q+Tr(R0Q)I3 sind:

$$(2\mu 1 + \mu 2 + \mu 3)$$
,  $(\mu 1 + 2\mu 2 + \mu 3)$  und  $(\mu 1 + \mu 2 + 2\mu 3)$ .

Es muss nur eine weitere Matrix berücksichtigt werden, da die anderen nur zyklische Permuta sind tionen sind die Eigenwerte von R1Q+Tr(R1Q)I3 ,

Jetzt sind nur noch zwei Fälle zu berücksichtigen: Wenn det(P) > 0, dann ist  $\mathbf{Q}$  positiv-definit und somit auch alle seine Eigenwerte. In diesem Fall ist der kritische Punkt leicht zu erkennen dargestellt durch R0 wird das Minimum sein. Dies ist die Lösung  $\mathbf{R} = \mathbf{Rp}$ .

Im anderen Fall det(P) < 0 ergibt die klassische Polarzerlegung ein positives Ergebnis bestimmte symmetrische Matrix und eine Spiegelung. Multipliziert man diese mit ÿ1, erhält man eine Rotation und eine negativ-definite symmetrische Matrix. Das heißt, **Q** hat alle negativen Eigenwerte. Als Nehmen Sie an, dass diese Eigenwerte die Ordnung 0 > μ1 ÿ μ2 ÿ μ3 haben, d. h. μ1 ist das Eigen Wert der kleinsten Größe, dann wird die Matrix R1Q + Tr(R1Q)l3 alle positiv sein Eigenwerte und daher entspricht R1 dem Minimum des Potentials. Also im Allgemeinen, Wenn det(P) < 0 ist, ist die minimale Lösung durch **R** = **RpRi** gegeben , wobei **Ri** eine Drehung von ÿ ist über den Eigenvektor von **Q** mit Eigenwert kleinster Größe.

## 6. Schlussfolgerungen

Das Konzept, das die drei in dieser Arbeit untersuchten Probleme vereint, ist die Idee der Funktionen definiert auf der Gruppe der Starrkörpertransformationen. Es war möglich, das zu finden stationäre Punkte der Funktionen und klassifizieren Sie diese kritischen Punkte. Dabei handelt es sich um eine einfache Technik der Differenzierung entlang einer Schraube.

Die Ergebnisse stimmen mit denen von Kanatani [11, Kap. 5] waren seine Methoden vielleicht etwas eleganter als oben. Die hier verwendeten Methoden sind allgemeiner

Es wurden kritische Punkte der Potentialfunktion gefunden, nicht nur das Minimum und mit Mit etwas mehr Aufwand hätte man den Index jedes Einzelnen finden können.

Diese Ideen sind von zentraler Bedeutung für das Thema Morsetheorie, ein damit zusammenhängendes Forschungsgebiet die kritischen Punkte der auf einer Mannigfaltigkeit definierten Funktionen zur Topologie der Mannigfaltigkeit selbst. In diesem Fall die Topologie der Mannigfaltigkeit, der zugrunde liegenden Mannigfaltigkeit der Gruppe SO(3) ist bekannt, und dies kann verwendet werden, um etwas über den kritischen Punkt von zu sagen die potentielle Funktion.

Das Problem der Federn ist insofern etwas künstlich, als Federn mit null Nat

Es wurden Urallängen verwendet. Dies vereinfacht die Berechnungen. Eine Wiederholung ist möglich

Die meisten der oben genannten Analysen verwenden Federn mit endlicher natürlicher Länge, siehe [17]. Die Zahl

Die Anzahl der kritischen Punkte wird nun zu einem sehr schwierigen Problem, wird aber immer noch durch eingeschränkt die Topologie der Gruppe.

Das Problem der Schätzung einer starren Bewegung aus Punktdaten ist einigermaßen realistisch.

Der Nutzen der Schätzung hängt von der Fehlerverteilung für die gemessenen Werte ab

Punkte. Hierzu gibt es einige Ergebnisse in der Literatur, siehe [18]. Scheint es zu geben

viel Spielraum für weitere Forschung in dieser Richtung.

An dieser Stelle bleibt nur Platz, um einen kurzen Blick auf die Auswirkungen zu werfen
Stewart-Plattform. Sicherlich mit der Technik des Differenzierens entlang einer Schraube
Beschleunigungseigenschaften der Stewart-Plattform konnten berechnet werden. Allerdings das Übliche
Hier treten Schwierigkeiten bei der geometrischen Definition einer zweiten Ableitung auf. Insbesondere
Unter bestimmten Umständen ist klar, was zu tun ist, zum Beispiel ist es nicht allzu schwer zu finden

Zur Dynamik einer Stewart-Plattform siehe [19]. Auch dies scheint ein fruchtbares Gebiet zu sein zukünftige Entwicklungen.

## **Verweise**

- [1] RS-Kugel. Die Theorie der Schrauben. Cambridge University Press, Cambridge, 1900.
- [2] T. Hawkins. Die Geburt von Lies Gruppentheorie. Mathematischer Intelligenzer, 16(2), S. 6–17 1994.
- [3] RA Horn und CR Johnson. **Matrixanalyse**, Cambridge University Press,
  Cambridge, 1985.
- [4] J. Milnor. Morse-Theorie. Princeton University Press, New Jersey, 1969.
- [5] M. Greenberg. Vorlesungen zur algebraischen Topologie. WA Benjamin Inc., New York, 1967.
- [6] JK MacKenzie. Die Schätzung einer Orientierungsbeziehung. Acta. Kristall, 10, S. 62–62 1957.
- [7] G. Wahba. Abschnitt über Probleme und Lösungen: Eine Schätzung der kleinsten Quadrate für Satelliten Attitüde. SIAM rev, 8, S. 384–385, 1966.
- [8] PAP Moran. Quaternionen, Haar-Maß und Schätzung des paläomagnetischen Ro Station. In J. Gani (Hrsg.), Perspectives in Prob. and Stats., S. 295–301, Applied Probability Trust, Sheffield 1975.

- [9] A. Nadas. Kleinste Quadrate und Maximum-Likelihood-Schätzung starrer Bewegungen.
  - IBM Forschungsbericht, RC6945, IBM, Yorktown Heights, NY, 1978.
- [10] BKP Horn. Geschlossene Lösung der absoluten Orientierung unter Verwendung von Einheitsquaternionen.
  - Zeitschrift der Optical Society of America, A-4:629-642, 1987.
- [11] K. Kanatani. Geometrische Berechnung für die maschinelle Bildverarbeitung. Clarendon Press, Ox Ford, 1993.
- [12] WH Press, SA Teukolsky, WT Vetterling und BP Flannery. Numerisch
  - Rezepte in C: die Kunst des wissenschaftlichen Rechnens 2. Auflage. Cambridge University Press, Cambridge, 1992.
- [13] BF Schutz. Geometrische Methoden der Mathematischen Physik. Universität Cambridge sity Press, Cambridge, 1980.
- [14] VI Arnold. Geometrische Methoden der klassischen Mechanik, Band 60 von Grad uate Texte in der Mathematik. Springer-Verlag, New York, 1978.
- [15] M. Griffis und J. Duffy. Globale Steifigkeitsmodellierung einer Klasse einfacher Konformität Kupplung. Mechanism and Machine Theory, 28(2):207–224, 1993.
- [16] M. Zefran und V. Kumar. Affiner Zusammenhang für die kartesische Steifigkeitsmatrix.
  In Proceedings of the 1997 IEEE International Conference on Robotics and Au tomation, Albuquerque, NM, Seiten 1376–1381.
- [17] JM Selig. Die r\u00e4umliche Steifigkeitsmatrix von Simple Stretched Springs In Pro Vortr\u00e4ge der IEEE International Conference on Robotics and Automation 2000, San Francisco CA, S. 3314–3319, 2000.

[18] GS Watson. Statistik der Rotationen, In Vorlesungsunterlagen in Mathematik, Springer Verlag, 1379, S. 398-413, 1989.

[19] JM Selig und PR McAree. Eingeschränkte Roboterdynamik II: Parallele Maschinen Journal of Robotic Systems, 16, S. 487–498, 1999.